

Muestra con número de registro 1248

La muestra de carbón con número de registro 1248 fue recogida de forma manual en la Operación 1 durante la campaña de 2008 (Martín-Seijo *et al.* 2016). Esta muestra fue recuperada de la **UE010** situada en la unidad de registro C4 . Esta unidad estratigráfica se corresponde con un depósito disperso.

Se han identificado 11 fragmentos de carbón, todos ellos correspondientes con un único taxón: Fabaceae-Mimosoideae tipo 2. La familia de las Fabaceae incluye aproximadamente 16.400 especies –entre las que se cuentan árboles, arbustos, hierbas y lianas- y se divide en tres grandes subfamilias: Caesalpinoideae, Mimosoideae y Papilonoideae (Espinoza & Melandri 2000). La existencia de similitudes anatómicas entre géneros, tribus y subfamilias de las Fabaceae dificulta en gran medida su identificación taxonómica, estos carbones fueron clasificados dentro de esta subfamilia por la presencia en su anatomía de radios homocelulares y por la ausencia de una estructura estratificada (Espinoza & Melandri 2000).

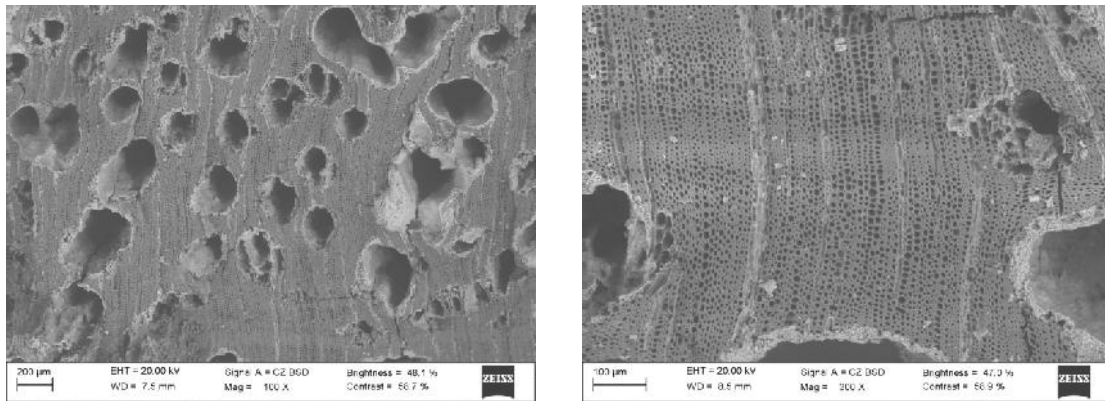


Fig. 1. Imágenes del plano transversal de uno de los carbones de Fabaceae-Mimosoideae tipo 2 de la muestra 1248 tomadas con el MEB.

Plano transversal. Anillo de crecimiento marcado por el estrechamiento de las traqueidas, madera semiporosa en la que los vasos próximos al anillo son más pequeños, vasos de forma redonda, solitarios o en grupos de 2-3 y parénquima paratraqueal vasicéntrico aliforme, de ala corta (Fig. 1).

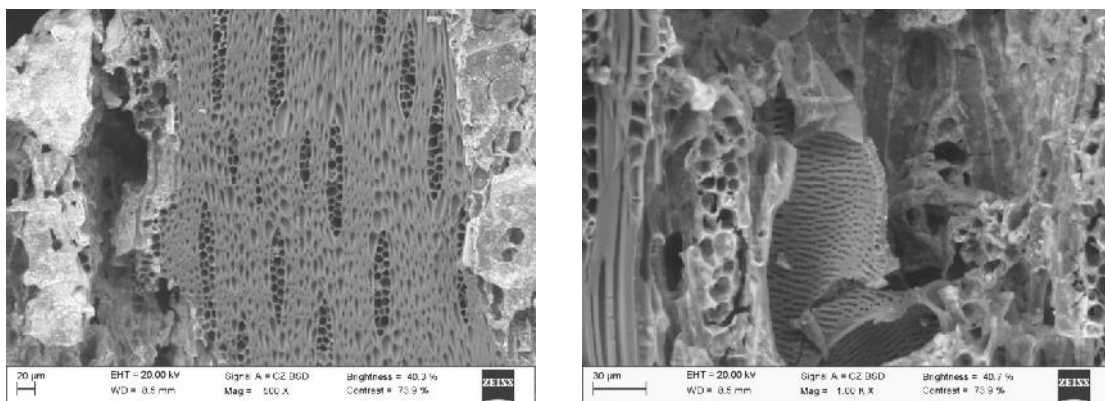


Fig. 2. Imágenes del plano tangencial de uno de los carbones de Fabaceae-Mimosoideae tipo 2 de la muestra 1248 tomadas con el MEB.

Plano Longitudinal Tangencial. Radios de 1 a 3 células de ancho y de 10-15 células de longitud, ausencia de estructura estratificada (Fig. 2).

Plano Longitudinal Radial. Radios homocelulares (Fig. 3).

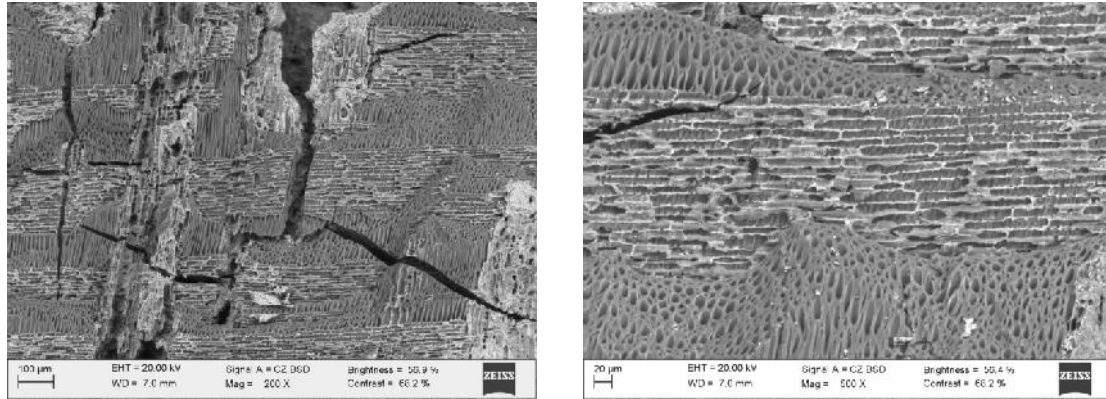


Fig. 3. Imágenes del plano radial de uno de los carbones de Fabaceae-Mimosoideae tipo 2 de la muestra 1248 tomadas con el MEB.

En cuanto a los aspectos dendrológicos observados. En 11 casos los fragmentos presentaban una curvatura débil en el anillo (Tabla 1). Este tipo de curvatura indicaría que probablemente los carbones analizados se corresponderían con troncos o grandes ramas.

	Débil	Moderada	Fuerte	Sin datos
Fabaceae-Mimosoideae tipo 2	10			1

Tabla 1. Datos dendrológicos: curvatura del anillo.

En lo que respecta a las alteraciones provocadas durante la combustión, se han identificado vitrificación en los tejidos y grietas radiales (Tabla 2). La vitrificación es bastante acusada, llegando en algunos fragmentos a la fusión completa del tejido, y afecta a todos los fragmentos estudiados. Se ha observado también la deformación de la morfología original (Fig. 1).

	Vitrificación	Grietas radiales
Fabaceae-Mimosoideae tipo 2	2	1

Tabla 2. Datos tafonómicos: alteraciones relacionadas con la combustión.

La vegetación potencial del sitio arqueológico de El Caño es el bosque seco tropical que ha sido hoy en día prácticamente despojado de su cobertura forestal original (Ramírez 2003). Estos bosques están dominados por árboles caducifolios, tienen copas y áreas basales más bajas que los bosques tropicales lluviosos, y la presencia de especies espinosas es significativa (Pennington *et al.* 2009; Sanchez-Azofeifa *et al.* 2005; Murphy & Lugo 1986). La vegetación leñosa está dominada por especies de la familia de las Fabaceae (Pennington *et al.* 2009; Condit & Daguerre 2011).

Bibliografía

- Condit, R.; Pérez, R.; Daguerre, N. 2011. *Trees of Panama and Costa Rica*. Princeton Field Guides, New Jersey.
- Espinoza, N.; Melandri, J.L. 1999-2000. Estudio anatómico del leño de cinco especies comerciales de la Subfamilia Mimosoideae en Venezuela, *Pittieria* 29-30 (1): 75-88.
- Martín-Seijo, M., Piqué i Huerta, R., Mayo Torné, J., Mayo Torné, C., & Abad Vidal, E. (2016). Madera carbonizada en contextos funerarios de la jefatura de Río Grande, Panamá: antracología en el sitio de El Caño. *Chungará, Revista de Antropología Chilena*, 48 (2): 277-294.
- Murphy, P. G.; Lugo, A.E. 1986. Ecology of Tropical Dry Forest. *Annual Review of Ecology and Systematics* 17: 67-88.
- Pennington; R. T.; Lavin, M.; Oliveira-Filho, A. 2009. Woody Plant Diversity, Evolution, and Ecology in the Tropics: Perspectives from Seasonally Dry Tropical Forests. *Annual Review of Ecology, Evolution, and Systematics* 40: 437-457.
- Ramírez, C. A. 2003. *Estado de la diversidad biológica de los árboles y bosques de Panamá*. Documentos de Trabajo: Recursos Genéticos Forestales. FGR/50S Servicio de Desarrollo de Recursos Forestales, Dirección de Recursos Forestales. FAO. Roma. (Inédito)
- Sánchez-Azofeifa, G.A.; Quesada, M.; Rodríguez, J. P.; Nassar, J. M.; Stoner, K. E.; Castillo, A.; Garvin, Th.; Zent, E. L.; Kalacska, M. E.R.; Gamon, J. A.; Cuevas-Reyes, P. 2005. Research priorities for Neotropical Dry Forests. *Biotropica* 37 (4): 477-485.